

# پژوهش گرانیت‌های نوع – I باتولیت کیکی، شمال ایران مرکزی

کاظم کاظمی<sup>(۱)</sup>، علی کعناییان<sup>(۲)</sup> و فاطمه سرجوقیان<sup>(۳)</sup>

۱. کارشناسی ارشد، دانشکده زمین‌شناسی، پردیس علوم، دانشگاه تهران، تهران

۲. دانشیار، دانشکده زمین‌شناسی، پردیس علوم، دانشگاه تهران، تهران

۳. استادیار، گروه علوم زمین، دانشکده علوم، دانشگاه کردستان، سنندج

تاریخ دریافت: ۹۰/۹/۲۱

تاریخ پذیرش: ۹۱/۱۲/۲۳

## چکیده

باتولیت کیکی واقع در کوه‌های شمال سمنان در شمال ایران مرکزی از لحاظ سنگ‌شناسی شامل گرانیت، گرانودیوریت، کوارتزدیوریت و گابرودیوریت است که واحدهای پرکامبرین را قطع نموده است. این سنگ‌ها متألومین تا جزئی پرآلومین هستند و ماهیت کالک آکالان دارند. الگوهای عناصر نادر خاکی نشان می‌دهند که همه نمونه سنگ‌های مطالعه شده از مگماهای مشترکی مشتق شده‌اند. مطالعات کانی‌شناسی، پتروگرافی و داده‌های عناصر اصلی و کمیاب نشان می‌دهند که همه سنگ‌های گرانیتی ماهیت I داشته و احتمالاً مواد پوسته‌ای به همراه مواد مشتق از گوشته در تشکیل آن‌ها نقش داشته‌اند. نمودارهای عنکبوتی با آنمالی منفی  $P$  و  $Nb$  حاکی از شکل گیری مagma در یک محیط تکتونیکی مرتبط با فروزانش است. دیگر شواهد رئوشیمیایی از قبیل بالا بودن  $SiO_2$ ، پایین بودن  $Mg^+$  و عناصر انتقالی و همچنین میانگین نسبت‌های  $Nb/La$ ،  $Nb/Ce$  و  $La/Sm$  گویای آن است که پوسته زیرین در کنار مواد مشتق از گوشته نقش مهمی را در تشکیل گرانیت‌های کیکی بازی کرده است.

واژه‌های کلیدی: باتولیت، فروزانش، کالک - آکالان، منشاء پوسته‌ای - گوشته‌ای، نوع - I.

## مقدمه

توده گرانیتوئیدی کیکی با روند شمال شرقی - جنوب غربی، در منتهی‌الیه شمال غرب نقشه زمین‌شناسی ۱:۲۵۰۰۰۰ ۱:۱ خارتوران و در شمال شرق نقشه زمین‌شناسی ۱:۱۰۰۰۰۰ ۱:۱ رزو، در فاصله ۵ کیلومتری روستای کیکی، بین طول‌های جغرافیایی  $۳۷^{\circ}۲۰'$  تا  $۳۷^{\circ}۵۵'$  و عرض‌های جغرافیایی  $۳۵^{\circ}۵۰'$  تا  $۳۶^{\circ}۳۵'$  شمالی واقع شده است و بر اساس تقسیم بندي نبوی (۱۳۵۵) جزئی از زون ایران مرکزی به شمار می‌رود. این توده گرانیتوئیدی با وسعت تقریبی ۱۲۰ کیلومتر مربع در استان سمنان و در ۱۰۰ کیلومتری جنوب شهرستان میامی واقع شده است. بخش‌های مرکزی و شمالی توده نفوذی از لحاظ سنگ‌شناسی عمدها از گرانیت و گرانودیوریت تشکیل شده است در حالی که در حاشیه این توده سنگ‌های کوارتزدیوریت و گابرودیوریت، سنگ‌های اصلی توده

را همراهی می‌کنند. این توده درون ماسه سنگ‌های پرکامبرین تزریق شده و ضمن ایجاد دگرگونی همبrij ضعیف، آپوفیزهایی را به داخل آنها وارد کرده که همگی حاکی از جوانتر بودن نسبی این توده نسبت به این سنگ‌ها است. از جمله مطالعات قبلی انجام شده در این منطقه می‌توان به پایان نامه کارشناسی ارشد حسینی در سال ۱۳۷۴ اشاره کرد که مطالعات رئوشیمیایی آن براساس آنالیزهای اسپکترومتری انجام شده و با محدودیت‌هایی همراه بوده است.

در مقاله حاضر سعی شده است با اتکا به نتایج حاصل از بررسی روابط صحرایی، پتروگرافی و آنالیز شیمیایی عناصر اصلی و کمیاب، به بررسی ارتباط رئوشیمیایی بین بخش‌های مختلف توده، منشأ مگماهای سازنده و جایگاه تکتونیکی این توده نفوذی پرداخته شود.

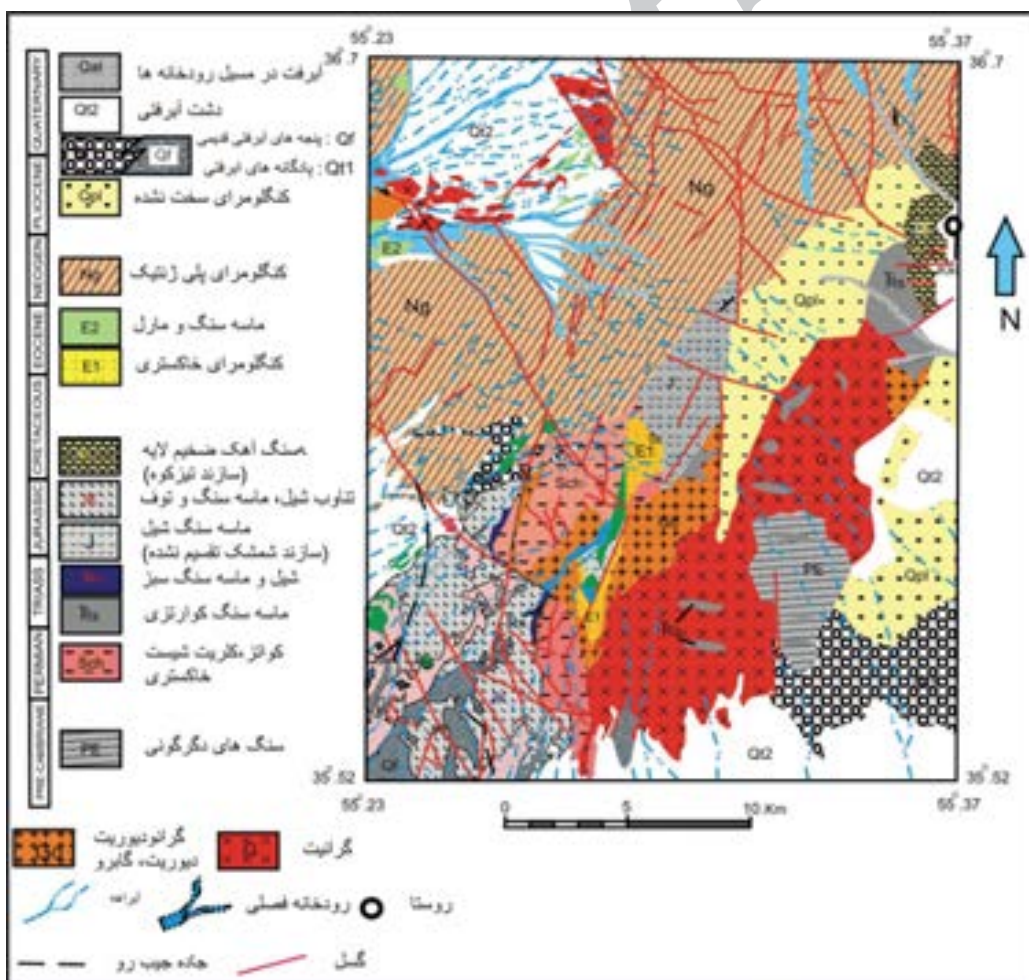
\* نویسنده مرتبط kazem.kazemii@gmail.com

روش مطالعه

نخست بر اساس بررسی های صحرایی، از بخش های مختلف توده نمونه برداری انجام شد و پس از تهیه مقاطع نازک به تعداد ۸۰ نمونه از رخنمون های سطحی، مطالعات سنگ نگاری دقیق از آن ها به عمل آمد. سپس به منظور بررسی منشأ و تعیین جایگاه زمین ساختی سنگ های نفوذی، تعداد ۱۰ نمونه از سنگ های سالم برای تجزیه شیمی سنگ به آزمایشگاه SGS در کشور کانادا ارسال شد تا عناصر اصلی، نادر و نادر خاکی در نمونه ها به روش ICP-MS اندازه گیری شوند (جدول ۱). در مرحله بعد بر روی داده های به دست آمده، تحلیل و تفسیر ژئوشیمیابی انجام گرفت.

زمین شناسی، منطقه

از لحاظ تقسیمات ساختاری توده نفوذی جنوب کیکی در منتهی الیه شمالی زون ایران مرکزی واقع شده است. بر اساس شرح نقشه‌های زمین‌شناسی و مطالعات صحرائی انجام شده، پیکره‌های سنگی منطقه شامل سنگ‌های رسوبی، آتشفسانی و آذرآواری به سن پرکامبرین تا کواترنری می‌باشند (شکل ۱). سنگ‌های میزبان توده نفوذی مورد مطالعه عمدتاً شامل کنگلومرا،



شکل ۱. نقشه ساده زمین شناسی توده نفوذی جنوب کیکی (اقتباس از نقشه‌های زمین شناسی ۱:۱۰۰۰۰۰ رزو، ۱:۲۵۰۰۰۰ بسطام، ۱:۲۵۰۰۰۰ خارتوران و ۱:۲۵۰۰۰ جاگرم با تغییرات جزئی).

جدول ۱. نتایج آنالیز ژئوشیمیایی سنگ‌های توده نفوذی جنوب کیکی که به روش ICP-MS انجام شده است.  
(مقادیر اکسیدهای اصلی بر حسب درصد وزنی و عناصر کمیاب بر حسب PPM)

sample	Gabbro		Diorite	Granodiorite		Granite			
	KD6	KD10	KE5	KD11	KE9	KE4	KE11	KD8	KD9
SiO <sub>2</sub>	50.3	54.4	56.5	69.5	73.2	74.2	74.5	75	76
TiO <sub>2</sub>	0.46	0.7	0.91	0.32	0.11	0.13	0.04	0.03	0.04
Al <sub>2</sub> O <sub>3</sub>	18.7	15	15.6	13	12.7	12.4	11.2	11.7	12
FeO	4.76	5.61	5.01	2.11	0.74	1.10	0.58	0.39	0.52
Fe <sub>2</sub> O <sub>3</sub>	1.87	2.80	2.48	1.41	0.65	0.94	0.51	0.36	0.50
MnO	0.12	0.21	0.18	0.08	0.02	0.05	0.02	*	*
MgO	5.62	3.97	3.73	0.66	0.2	0.23	0.14	0.05	0.07
CaO	10	7.18	7.19	2.72	0.98	1.24	0.44	0.28	0.67
Na <sub>2</sub> O	1.7	2.6	2.4	3.5	3.5	3.3	3.4	3.3	3.3
K <sub>2</sub> O	0.64	1.28	1.32	1.95	4.18	4.08	4.13	4.7	4.96
P <sub>2</sub> O <sub>5</sub>	0.09	0.16	0.19	0.08	0.04	0.03	0.01	*	*
loI	1.61	1.49	1.69	0.71	0.45	0.54	0.36	0.47	0.31
Sum	96.5	96.1	97.8	96.3	96.9	98.3	95.5	96.4	98.4
Ba	160	330	330	490	750	740	330	670	90
Rb	22.3	57.6	51.4	77.3	93.5	116	126	166	135
Sr	250	310	360	270	80	120	20	40	30
Zr	167	91.3	74.8	177	79.1	102	70.8	60.5	63.8
Nb	2	6	5	11	5	8	7	7	12
Ni	30	22	20	16	6	49	8	10	58
Co	29.5	23	21.1	4.5	1.5	1.7	0.7	0.6	0.9
Zn	60	132	154	60	13	34	18	10	13
La	13.1	13.1	14.1	18.6	32	30.4	11.1	16.7	12.4
Ce	26.4	32.5	28.2	32.5	67.5	57.2	23.5	30.7	25.1
Pr	3.29	4.67	3.67	4.21	7.57	6.51	2.84	3.85	3.69
Nd	13.1	19.7	15.2	16.6	27.2	23.8	11.4	14.9	16.1
Sm	2.5	4.7	3.2	4.5	4.8	4.6	2.9	3.4	5.5
Eu	0.63	1.13	0.95	1	0.67	0.69	0.28	0.37	0.22
Gd	2.53	4.86	3.29	5.53	4.01	4.57	3.27	3.02	6.66
Tb	0.41	0.77	0.48	1	0.56	0.76	0.55	0.66	1.17
Dy	2.35	4.79	2.78	6.09	3.52	4.94	3.55	4.11	7.39
Ho	0.53	1.01	0.61	1.32	0.7	1.05	0.75	0.69	1.58
Er	1.5	3.05	1.74	3.81	2.1	3.28	2.25	2.59	4.55
Tm	0.22	0.44	0.24	0.54	0.31	0.51	0.36	0.37	0.67
Vb	1.4	3.2	1.8	3.5	2	3.5	2.4	2.7	4.5
Lu	0.19	0.48	0.24	0.49	0.27	0.5	0.39	0.36	0.61
Y	13.4	29.2	15.4	35.9	19.2	30.1	20.2	23.9	42.9
Cs	2.8	0.7	0.7	3.4	1	1.5	1.6	1	0.9
Ta	*	*	*	0.5	*	0.6	*	*	0.8
Hf	5	3	2	5	3	4	3	3	4
Ga	19	19	18	18	16	15	15	15	18
Sn	*	2	4	3	2	1	2	2	*
Th	3.3	4.2	2.7	6.9	11.3	14.3	7.4	11.3	18.1
U	0.53	1.46	1.03	2.48	1.18	4	1.64	2.49	3.82
V	175	210	211	36	12	14	11	13	11
Cu	33	26	14	8	8	196	8	6	178
K <sub>2</sub> O/Na <sub>2</sub> O	0.37	0.49	0.55	0.55	1.19	1.23	1.21	1.42	1.5
Eu/Eu*	0.75	0.71	0.88	0.61	0.45	0.45	0.27	0.31	0.11

زینومورف و میانگین اندازه آن حدود یک میلیمتر است. در برخی موارد این بلورها بافت پرتیتی دارند و یا به صورت میکروکلینی با ماکل مشبك متبلور شده‌اند. این بلورها تحت تأثیر دگرسانی قرار گرفته و تا حدی به کائولینیت دگرسان شده‌اند. بیویت ساب اتومورف و اندازه آن کمتر از یک میلیمتر بوده و تا حدی متتحمل دگرسانی به کلریت، اسفن و مگنتیت شده است. آمفیبول نیز اتومورف و از نوع هورنبلن سبز بوده و در برخی موارد به بیویت، کلریت و اپیدوت تبدیل شده است.

کانی‌های اصلی تشکیل دهنده سنگ‌های گابرودیوریت و کوارتزدیوریت جنوب کیکی عبارتند از پلاژیوکلاز، آمفیبول، بیویت و کوارتر. بافت غالب در این سنگ‌ها میکروگرانولار و گرانولار است. پلاژیوکلاز به صورت اتومورف تا ساب اتومورف و بیش از ۴۰ درصد از حجم سنگ را به خود اختصاص داده است. پلاژیوکلازها در برخی موارد دارای ماکل پلی‌ستنتیک هستند و در برخی موارد ساختمان منطقه‌ای از خود نشان می‌دهند. این کانی‌ها تحت تأثیر آلتراسیون قرار گرفته و به سریسیت، کلسیت و اپیدوت دگرسان شده‌اند. آمفیبول به صورت ساب اتومورف و نسبتاً سالم بوده، در حدود ۲۰ تا ۴۰ درصد از حجم سنگ را تشکیل می‌دهد و در بعضی موارد به اپیدوت یا بیویت تبدیل شده است. بیویت‌ها ساب اتومورف بوده و تا حدی به کلریت، اسفن و مگنتیت تبدیل شده‌اند. کوارتز و آلكالی فلدسپار نیز به صورت زینومورف در بین سایر کانی‌ها دیده می‌شوند. کوارترها حدود ۱۰ درصد از حجم سنگ را تشکیل می‌دهند در حالی که آلكالی فلدسپارها سهم اندکی دارند. تبلور این دو کانی در بین سایر کانی‌ها بیان‌گر تبلور آنها در مراحل نهایی انجامد مانگما است.

### ژئوشیمی

سنگ‌های توده نفوذی جنوب کیکی در نمودار کاتیونی (De La Roche et al., 1980) در محدوده آلكالی گرانیت، گرانیت، گرانودیوریت، دیوریت و گابرودیوریت قرار می‌گیرند (شکل ۲). در نمودارهای تغییرات عناصر اصلی و فرعی در مقابل سیلیس (Harker, 1909) میزان اکسیدهای  $\text{Al}_2\text{O}_3$ ,  $\text{MgO}$ ,  $\text{CaO}$  و  $\text{FeOt}$  با افزایش سیلیس کاهش می‌یابند، در حالی که اکسیدهای  $\text{U}$ ,  $\text{Rb}$ ,  $\text{K}_2\text{O}$  و  $\text{Na}_2\text{O}$  سیر صعودی دارند (شکل ۳). عناصر  $\text{Ba}$ ,  $\text{Sr}$  و  $\text{Th}$  با افزایش سیلیس روند افزایشی نشان می‌دهند، ولی  $\text{Co}$  برخلاف آنها، کاهش می‌یابند.

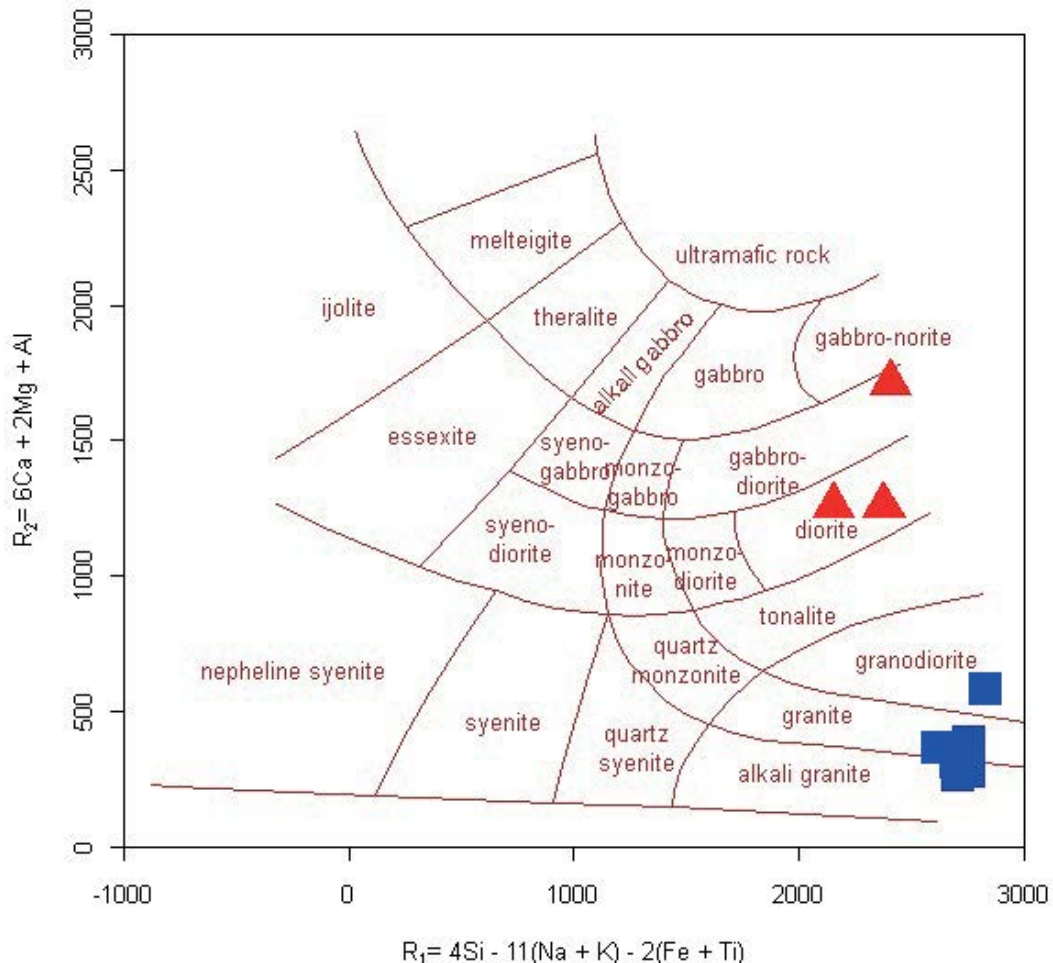
سنگ‌های نفوذی جنوب کیکی در نمودار تغییرات مجموع اکسیدهای قلیایی در مقابل سیلیس، در قلمرو ساب آلكالن و در نمودار مثلثی AFM (Irvine and Baragar, 1971) در محدوده کالک‌آلكالن واقع شده‌اند (شکل ۴). در نمودار تغییرات  $\text{SiO}_2$  در برابر  $\text{K}_2\text{O}$  (Rickwood, 1989)، گابرودیوریت و دیوریت‌ها در محدوده کالک آلكالن با میزان پتابسیم حدودسط و سنگ‌های گرانیت و گرانودیوریت در قلمرو سنگ‌های کالک‌آلكالن پتابسیم‌دار قرار می‌گیرند (شکل ۵). همچنین در نمودار تغییرات

و مارن، گدازه‌های آندزیتی و آندزیتی بازالتی به درون حوضه ریخته شده است. رسوبات نئوژن بیشتر از کنگلومرای پلی ژنیتیک به رنگ خاکستری روشن با سیمانی سست تشکیل شده است که با ناپیوستگی زاویه‌دار بر روی لایه‌های قدیمی‌تر از خود جای می‌گیرند. رسوبات کواترنری بیشتر شامل پادگانه‌های قدیمی و بادزن‌های آبرفتی و کنگلومرای سخت نشده قهوه‌ای رنگ می‌باشند که این رسوبات به همراه رسوبات نئوژن، جوانترین واحدهای رسوبی منطقه مورد مطالعه را تشکیل می‌دهند. توده نفوذی جنوب کیکی درون ماسه‌سنگ‌های پرکامبرین تزریق شده و ضمن ایجاد دگرگونی همبری ضعیف، آپوفیزهایی را به داخل آنها وارد کرده که همگی حاکی از جوانتر بودن نسبی این توده نسبت به این ماسه‌سنگ‌ها است. به واسطه تأثیر حرارتی ناشی از تزریق توده، سنگ‌های فراغیر در مجاورت بلافضل توده، در حد رخساره آلیت اپیدوت هورنفلس دگرگون شده‌اند.

### پتروگرافی

توده نفوذی جنوب کیکی بر اساس مطالعات پتروگرافی از دو واحد اسیدی و حدواسط - مافیک تشکیل شده است که واحد اسیدی دارای ترکیب سنگ‌شناصی گرانیت و گرانودیوریت است. در حالی که واحد مافیک - حدواسط از مجموعه سنگ‌شناصی گابرودیوریت و کوارتزدیوریت تشکیل شده است. گرانیت‌ها از نظر اختصاصات ماکروسکوپی صورتی رنگ و دانه درشت هستند. کانی‌های فلزیک شامل آلكالی فلدسپار، پلاژیوکلاز و کوارتر بوده و بیویت به عنوان تها کانی فرومینیزین در این سنگ‌ها حضور دارد. همچنین این سنگ‌ها فاقد مسکوویت و کانی‌های آلومینوسیلیکاته است. بافت غالب در گرانیت‌ها گرانولار است ولی گاهی بافت‌های گرانوفیری، پریتی، پوشی‌کلیتیک و کاتاکلاستیکی نیز ملاحظه می‌شود. آلكالی فلدسپارها اغلب به صورت پورفیرهای درشت در متن سنگ دیده می‌شوند که طول آن‌ها گاه به ۲ سانتی‌متر نیز رسیده و حجم قابل توجهی از این سنگ‌ها را به خود اختصاص داده‌اند. برخی از این کانی‌ها دارای ماکل کارلسbad هستند و به طور جزئی به کائولینیت دگرسان شده‌اند. کوارترها، دارای خاموشی موجی، حاشیه مضرس و شکستگی‌های فراوان هستند. پلاژیوکلازها با فراوانی کمتر، ماکل پلی‌ستنتیک و در برخی موارد با زونینگ دیده می‌شوند. بیویت در بین مجموعه کانی‌ها حضور دارد و گاهی به کلریت دگرسان شده‌است.

بافت غالب در گرانودیوریت‌ها گرانولار بوده و از لحاظ کانی‌شناصی عمدتاً از کوارتر، پلاژیوکلاز، فلدسپار پتابسیم، بیویت و آمفیبول تشکیل شده‌اند. کوارتر با خاموشی موجی اکثرا به صورت بافت گرانوفیری رشد تواأم با فلدسپار نشان می‌دهد. پلاژیوکلاز معمولاً به صورت اتومورف بوده و بیش از ۴۰ درصد حجم سنگ را به خود اختصاص داده است. این بلورها در برخی از نمونه‌ها، شدیداً آلتره شده و به اپیدوت، سریسیت و کانی‌های رسی تبدیل شده‌اند. فلدسپار پتابسیم به صورت ساب اتومورف تا



شکل ۲. موقعیت نمونه‌های مورد مطالعه بر روی نمودار رده‌بندی کاتیونی (De La Roche et al. 1980) (علامت مریخ نماینده سنگ‌های اسیدی و علامت مثلث معرف سنگ‌های حدواسط و بازیک است).

سنگ‌ها از عناصر LILE نسبت به HFSE غنی شدگی نشان می‌دهند (شکل ۸). در الگوی فراوانی عناصر کمیاب گرانیت‌ها و گرانودیوریت‌ها، فرورفتگی Ba، Sr، Nb، P، Ti، و (Ba/Nb)\*=0.05-0.26 و (Nb/Nb)\*=0.08-0.37، Ti/Ti\*=0.02-0.12، Sr/Sr\*=0.09-0.84 و (Ba/Ba)\*=0.06-5.32 و در گابرودیوریت‌ها و دیوریت‌ها فرورفتگی Ti/Ti\*=0.21-0.77، Ba/Ba\*=0.62-0.84، Ti، P، Nb و (P/P)\*=0.28-0.99، Nb/Nb\*=0.14-0.27 دیده می‌شود.

### بحث فرآیندهای مؤثر در تکامل توده نفوذی کیکی

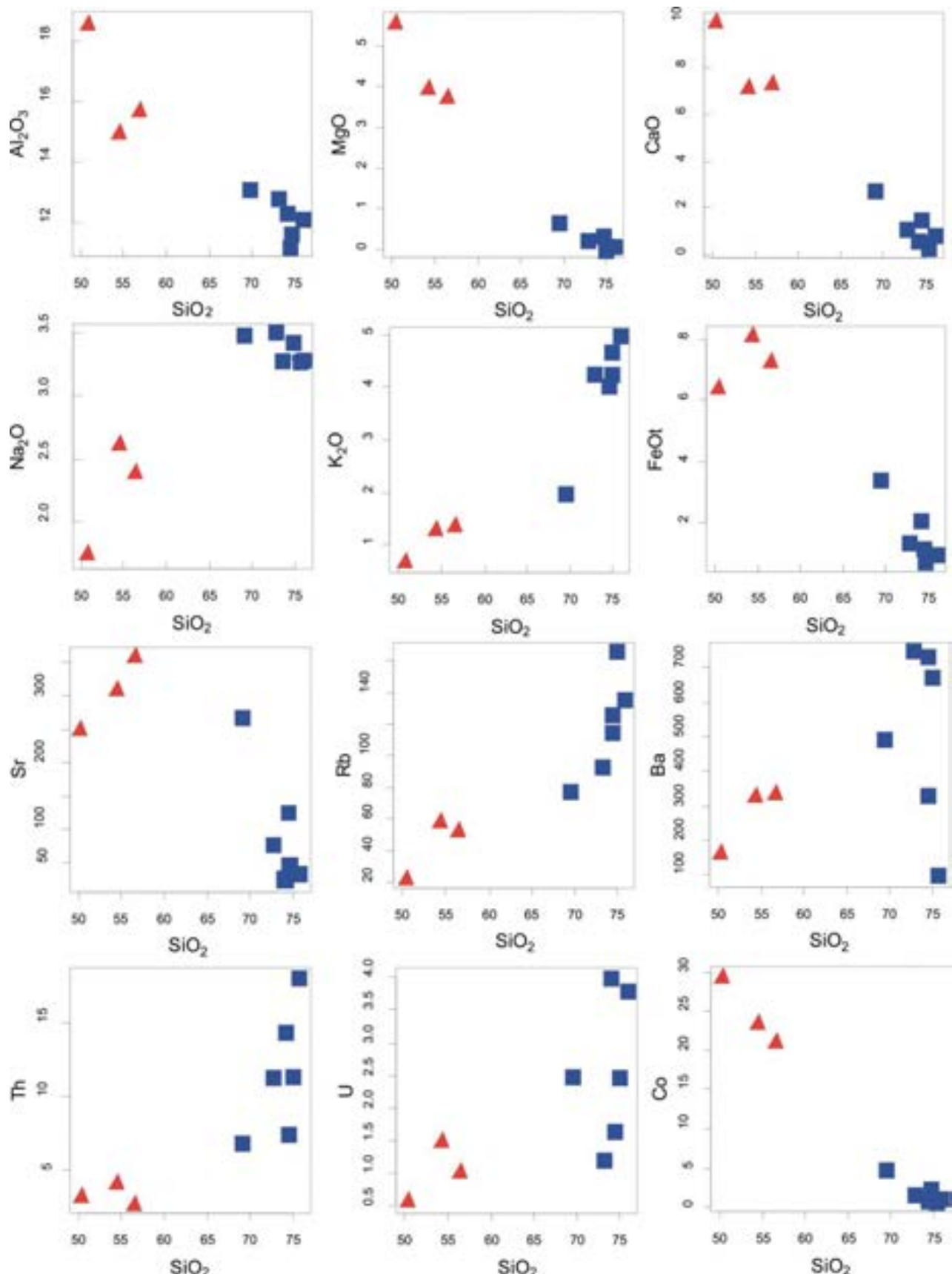
بطور کلی در خصوص تکوین سنگ‌های ماگمای اسیدی مشتمل بر گرانیتوئیدها دو نقطه نظر وجود دارد، یکی مبنی بر نقش اصلی ذوب بخشی و دیگری حاکی از نقش اساسی تغیری بلوری.

چنانچه در نمودارهای هارکر (شکل ۳) ملاحظه می‌شود، کاهش میزان اکسیدهای FeOt و MgO با افزایش سیلیس بیان گر مشارکت این عناصر در ساختار کانی‌های فرومیزین بیوتیت، هورنبلند، پیروکسین و اکسیدهای آهن و تیتاندار در مراحل اولیه

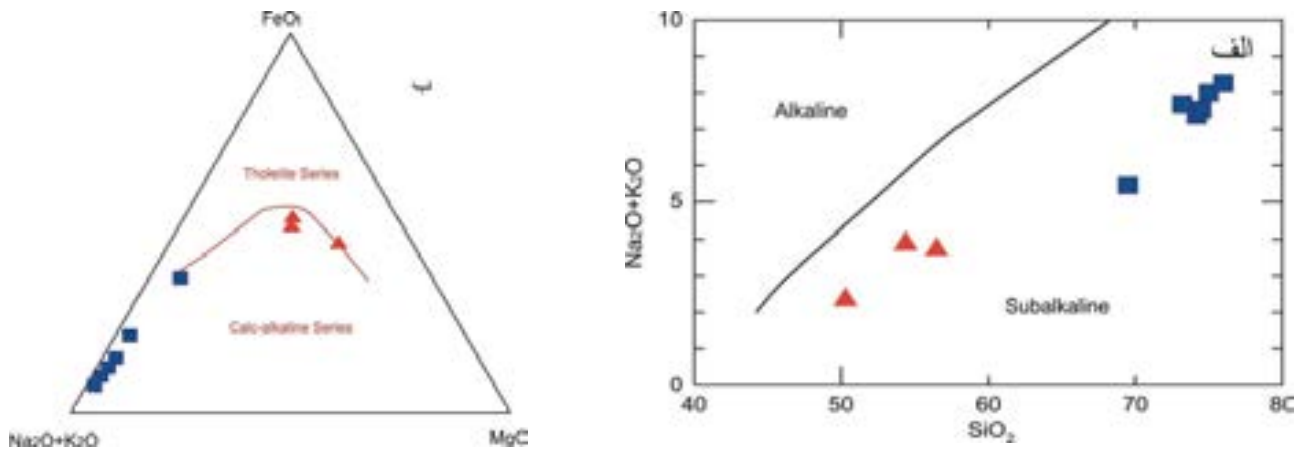
نسبت‌های مولکولی  $\text{Al}_2\text{O}_3/\text{Na}_2\text{O}+\text{K}_2\text{O}$  (A/NK) در برابر  $(\text{Al}_2\text{O}_3/\text{Na}_2\text{O}+\text{K}_2\text{O})/\text{CaO}$  (A/CNK) در قلمرو متالومین و سنگ‌های گرانیت - گرانودیوریت در محدوده سنگ‌های پرآلومین Maniar and Piccoli (1989) واقع شده‌اند (شکل ۶).

در شکل ۷ نمودار تغییرات عناصر نادر خاکی که نسبت به کندریت نرم‌سازی شده‌اند (Sun and McDonough, 1989) نمایش داده شده است. الگوی فراوانی عناصر نادر خاکی در دیوریت‌ها، گابرودیوریت‌ها، گرانیت‌ها و گرانودیوریت با یکدیگر موازی بوده و از عناصر HREE نسبت به HREE غنی شدگی نشان می‌دهند ۰.8-10.8 (La/Yb) n=1.8-10.8.

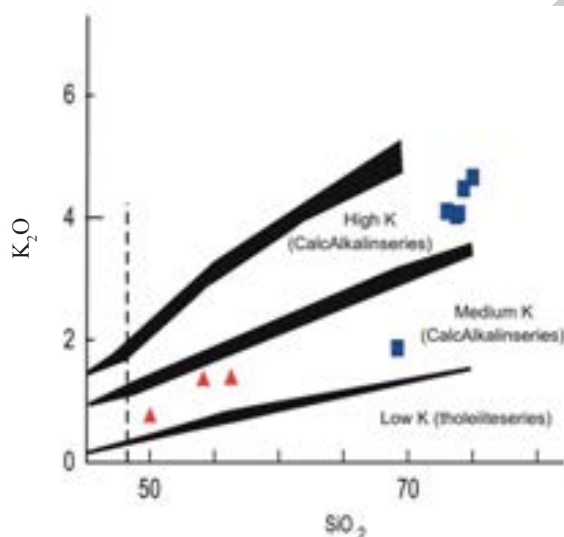
الگوی HREE مسطح است و در الگوی عناصر نادر خاکی تقریب جزئی دیده می‌شود. علاوه بر این در الگوهای مذکور شاهد آنومالی منفی Eu هستیم (Eu/Eu\*=0.1-0.8)، به طوری که طی تکامل ماگما و افزایش میزان اسیدیته ماگما، آنومالی Eu افزایش می‌یابد. در نمودارهای عنکبوتی که نسبت به گوشته اولیه نرم‌سازی شده‌اند، (Sun and McDonough, 1989) فراوانی عناصر کمیاب سنگ‌های توده گرانیتوئیدی مشابه بوده و این



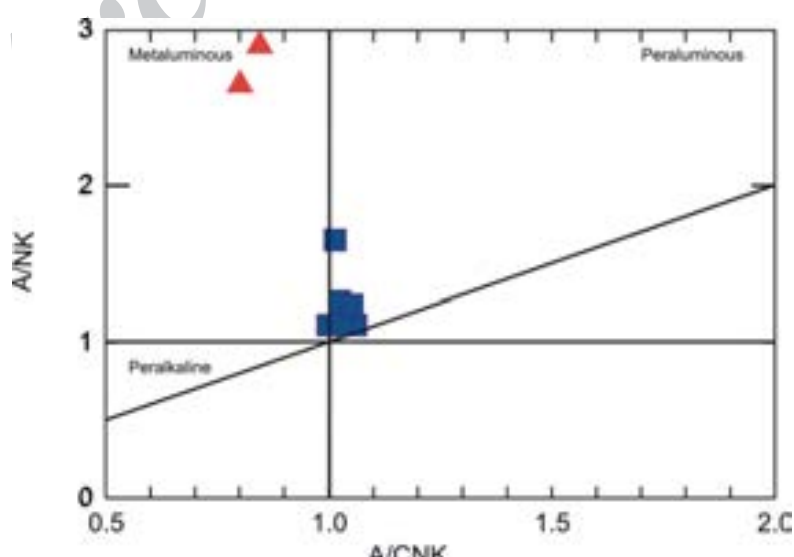
شکل ۳. موقعیت نمونه‌های مجموعه نفوذی جنوب کیکی بر روی نمودار تغییرات اکسیدهای اصلی و عناصر فرعی در برابر سیلیس (Harker, 1909). فراوانی اکسیدها بر حسب درصد وزنی و فراوانی عناصر کمیاب بر حسب ppm گزارش شده است (علام مشابه شکل ۲ است).



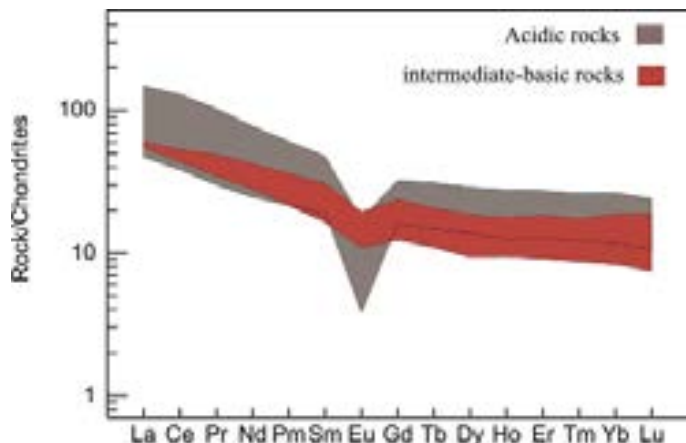
شکل ۴. الف) نمودار تفکیک سری آلکالن از ساب آلکالن ب) نمودار مثلثی AFM جهت تفکیک سری‌های تولثیتی و کالک آلکالن (Irvin and Barragar, 1971) (علائم مشابه شکل ۲ است).



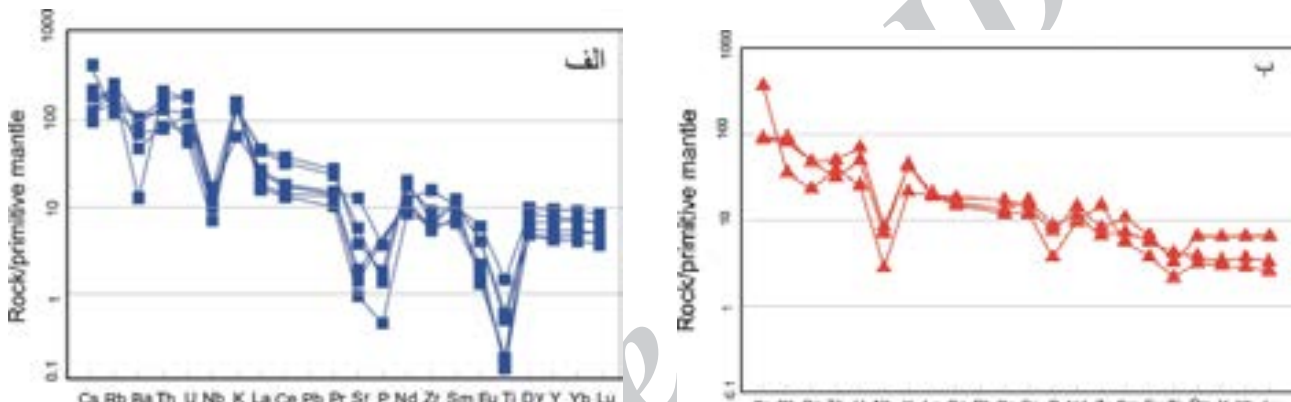
شکل ۵. موقعیت سنگ‌های مورد مطالعه بر روی نمودار  $K_2O$  در برابر  $SiO_2$  (Rickwood, 1989) (علائم مشابه شکل ۲ است).



شکل ۶. نمودار تغییرات  $(A/CNK) Al_2O_3/CaO+Na_2O+K_2O$  (A/CNK)  $Al_2O_3/Na_2O+K_2O$  (A/NK) (Maniar and Piccoli, 1989) (علائم مشابه شکل ۲ است).



شکل ۷. فراوانی عناصر نادر خاکی (REE) در نمونه‌های مورد مطالعه که نسبت به کندریت نرمالایز شده است (Sun and McDonough, 1989) (عاثم مشابه شکل ۲ است).



شکل ۸. فراوانی عناصر فرعی و نادر خاکی در نمونه‌های (الف) گرانیت و گارانودیوریت، (ب) دیوریت و گارانودیوریت که نسبت به گوشه اولیه نرمالایز شده است (Sun and McDonough, 1989) (عاثم مشابه شکل ۲ است).

بيان گرا اهمیت نقش تفریق آمفیبیول و پلاژیوکلاز در فرآیند Eu تکامل گرانیت‌های است. Hoskin et al. (1992) و Romick et al. (2000) تقریر جزئی در الگوهای عناصر نادر خاکی که ناشی از تهی شدگی MREE است را به تفریق هورنبلند و یا اسفن نسبت داده‌اند. Eu عنصری سازگار در فلدسپارها است و آنومالی آن بر اثر تفریق فلدسپار در حین تبلور ماسه‌گما و یا بر اثر باقی ماندن فلدسپار در منشأ در حین ذوب بخشی در شرایطی که اکتیویته H<sub>2</sub>O پایین است، ایجاد می‌شود (Tepper et al., 1993).

تهی شدگی Sr در شکل ۸ در اکثر سنگ‌های گرانیت و گارانودیوریتی ناشی از کاهش پلاژیوکلاز در حین تفریق بلورین است. چرا که Sr به جای کلسیم، در شبکه پلاژیوکلاز کلسیم‌دار وارد می‌شود. و U نیز به دلیل ناسازگاری و شعاع یونی بزرگ تا مراحل انتهایی در فاز مایع باقی مانده و با افزایش SiO<sub>2</sub>، غنی شدگی از خود نشان می‌دهد. Co در مقابل افزایش سیلیسیس روند کاهشی نشان می‌دهد. این عنصر سازگار به صورت سه ظرفیتی، رفتاری مشابه آهن، منیزیم و تیتانیم داشته و جانشین Fe<sup>3+</sup>، منیزیم و تیتانیم در کانی‌های فرومینیزین و تیتانومگنتیت می‌شود.

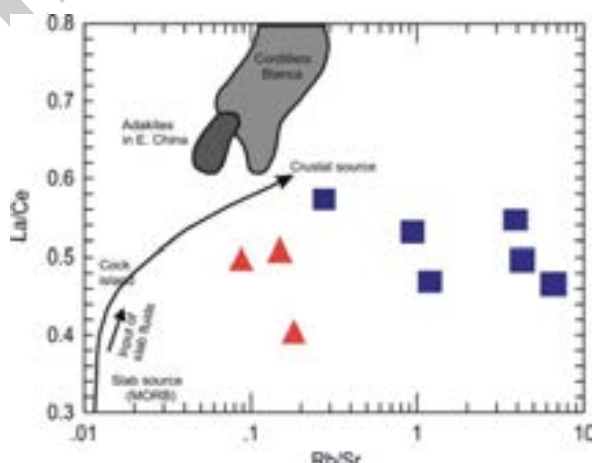
در شکل ۷ شاهد غنی شدگی عناصر LREE نسبت به HREE، آنومالی Eu منفی و تقریر جزئی در الگوهای عناصر نادر خاکی هستیم. بنابر پیشنهاد Tankut et al. (1998) غنی شدگی عناصر LREE نسبت به HREE و آنومالی منفی

(Harris et al., 1986; Searle and Fryer, 1986) سازگار هستند. از این رو به نظر می‌رسد نمونه‌ها، بیشتر از منابع پوسته‌ای (Thuy et al., 2004) مشتق شده باشند. غنی‌شدگی از LILE نسبت به HFSE در شکل ۷ می‌تواند در نتیجه درجات پایین ذوب بخشی از منشأ گوشته‌ای، تحرک عناصر طی دگرسانی، نقش گوشته متاسوماتیزه، آلودگی بوسیله مواد پوسته‌ای و یا دخالت پوسته در تولید سنگ‌های منطقه باشد. بنابر نتایج بالا می‌توان استنباط نمود که دخالت پوسته در تشکیل ماقمای توode نفوذی مورد مطالعه منجر به غنی‌شدگی از LILE نسبت به HFSE شده است. تهی‌شدگی از (Ti, Hf, Ta, HFSE) (Rb, K, Ba, Th, U) LILE (شکل ۸)، (Nb) و غنی‌شدگی در (Beard and Lofgren, 1991; Patiño-Douce and McLennan and Beard, 1995; Ratajeski et al., 2005) است. نیز فراوانی عناصر Taylor (1985) به همراه Pb و تهی‌شدگی عناصر Nb, Ti, Rb و Ta را به مذابی با منشأ پوسته قاره‌ای نسبت داده‌اند. به عقیده Roberts and Cle (1993) ذوب بخشی آندزیت و آندزیت بازالتی کالک‌آلکالن آبدار منشأ مناسبی برای گرانیت‌های پتاسیم دار محسوب می‌شود. این محققین بر اساس آزمایشات تجربی نتیجه گرفتند که ماقمای گرانیتوئیدی کالک‌آلکالن پتاسیم دار بر اثر ذوب بخشی سنگ‌های پوسته‌ای مافیک و حدواسطی که در شرایط آبدار دگرگون شده باشند، ایجاد می‌شوند. به عقیده Rapp and Watson (1995) مقدادر پایین ذوب بخشی متابازالت آمفیبولیتی (~%5) در فشارهای Gpa ۰/۸ - ۱/۵، مذابی با  $\text{SiO}_2 > 65\%$  تولید می‌کند. البته شواهد تجربی اخیر نشان می‌دهند که از آبگیری مواد بازالتی پوسته زبرین در مناطق با جریان گرمایی بالا مقدادر قابل توجهی مذاب مافیک (Rushmer, 1991; Beard and Lofgren, 1991; Wolf and Wyllie, 1994; Rapp and Watson, 1995) تولید می‌شود.

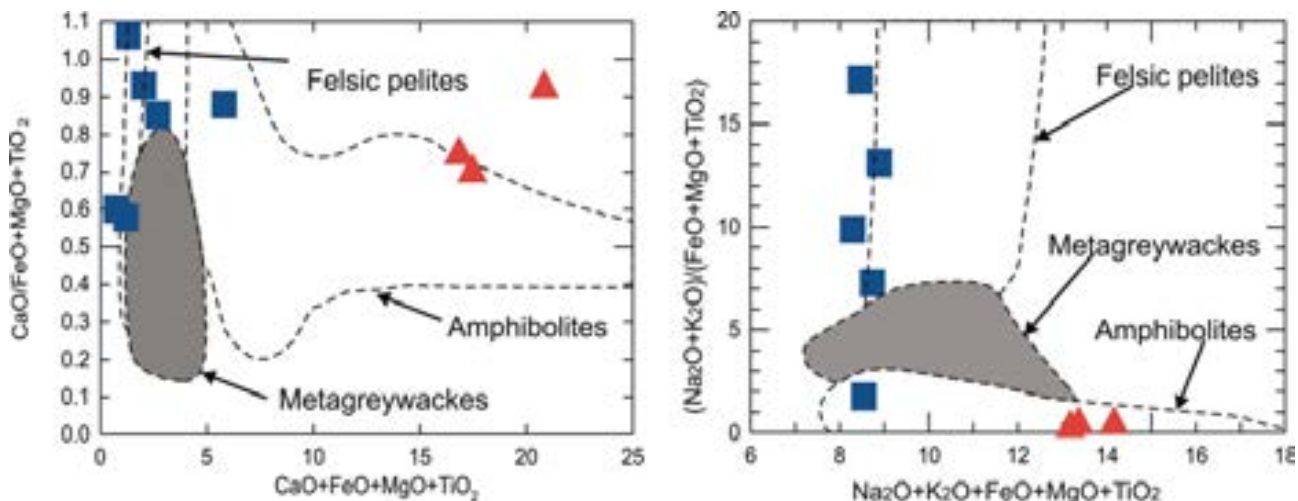
### منشأ توode نفوذی کیکی

گرانیت‌ها بر اثر عواملی چون ذوب بخشی سنگ‌های گوشته‌ای، پوسته‌ای و یا اختلاط آنها نشأت می‌گیرند. میزان  $\text{SiO}_2$  بالا و  $\text{Mg}^+$  کمتر از ۶۰ درصد (Kuster et al., 1998) و میزان پایین عناصر انتقالی V, Co, Cr, Ni (Wilson, 1989) در نمونه‌های مورد مطالعه، احتمال منشأگیری مستقیم آنها را از گوشته متنفسی می‌سازد. همچنین نسبت بالایی از عناصر Nb/La (Hawkesworth et al., 1995; Rogers et al., 1995) و Ti/Zr (Woodhead and Johnson, 1993) برای ماقمای مستقیم شده از گوشته لیتوسفری پیشنهاد شده است (به ترتیب حدود ۴ و ۱۰۰) و این در حالی است که میانگین این نسبت در سنگ‌های گرانیتوئیدی جنوب کیکی به ترتیب برابر ۴۱۹ و ۱۷/۸۴ است، بنابراین با منشأ گوشته‌ای محض مغایرت دارد. برای تعیین منشأ توode نفوذی کیکی می‌توان از نمودار تغییرات Rb/Sr در برابر La/Ce (Zhou et al., 2006) استفاده نمود. چنانچه در شکل ۹ مشخص شده است، نمونه‌های مورد مطالعه از نسبت Rb/Sr بالایی برخوردارند و در نزدیکی محدوده مذاب‌های مستقیم شده از پوسته قرار گرفته‌اند. علاوه بر آن برای بررسی سنگ منشأ نمونه‌های مورد مطالعه در پوسته (از قبیل آمفیبولیت‌ها، گنیس‌های تونالیتی، متابگری واک‌ها و متابپلیت‌ها) به عنوان پتانسیل اصلی برای تامین ماقمای سازنده سنگ‌های گرانیتوئیدی کالک‌آلکالن از نمودار شکل ۱۰ (Wolf and Wyllie, 1994; Patiño-Douce and Beard, 1996; Thompson, 1996) استفاده شده است. چنانچه در این شکل ملاحظه می‌شود، نمونه‌های گابرودیوریت و دیوریت در محدوده مذاب‌های مستقیم شده از ذوب بخشی آمفیبولیت‌ها و نمونه‌های گرانودیوریت-گرانیت در هر دو محدوده مذاب‌های مستقیم شده از پلیت‌های فلزیک و آمفیبولیت‌ها واقع شده‌اند.

نمونه‌های مورد مطالعه دارای تهی‌شدگی مشخص Ti, Nb, Sr و Ba و غنی‌شدگی در La, Th, K و Rb هستند که این خصوصیات با مذاب‌های پوسته‌ای، منند گرانیتوئیدهای کمربند چین خورده لاخلان (Chappell and White, 1992) و



شکل ۹. نمودار تغییرات Rb/Sr در برابر La/Ce (Zhou et al., 2006) بیانگر منشاء پوسته‌ای ماقمای تشکیل دهنده توode نفوذی کیکی است (علاوه مشابه شکل ۲ است).



(Wolf and Wyllie, 1994; Patino-Douce and Beard, 1996; Thompson, 1996) علام مشابه شکل ۲ است.

نمود. به این صورت که نسبت‌های  $(La/Sm)n$  و  $Nb/La$ ،  $Nb/Ce$  در گوشه حدود  $1/0.1$  و  $0/39$  در گوشه حدود  $0/46$  و  $0/23$  (Weaver and (Tarney, 1984) در نظر گرفته شده است. میانگین نسبت‌های  $Nb/La$  و  $Nb/Ce$  در توده گرانیت‌های جنوب کیکی به ترتیب برابر  $0/41$  و  $0/20$  و  $4/56$  محاسبه شده است. این نسبت‌ها بیان گر آن است که پوسته زیرین عامل مهمی در شکل‌گیری این توده نفوذی بوده است.

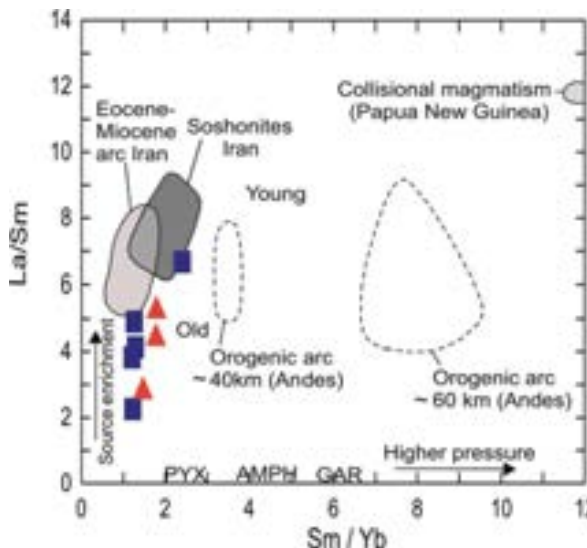
### جایگاه تکتونیکی

گرانیت‌های توده نفوذی جنوب کیکی طبق رده‌بندی Bar-barin (1999) با داشتن اختصاصات کانی‌شناسی و ژئوشیمیایی بازی همچون وجود کانی‌های مافیک بیوتیت و هورنبلند همراه با کوارتز، فلدسپار پتاسیم و پلازیوکلاز با متوسط فراوانی آنورتیت  $13/5$  درصد و فقدان کانی‌های آلومنیوسیلیکاته، کردبریت و مسکوویت و نسبت پایین  $FeO/FeO+MgO$  (کمتر از  $0/9$ )، در گروه ACG (گرانیت‌های کالک آلکالن غنی از آمفیبیول) قرار می‌گیرند. از نظر محیط تکتونیکی جزء گرانیت‌های حاصل از فعالیت ماقمایی مرتبه فرورانش حاشه فعال قاره‌ای تلقی می‌شوند. Pearce et al. (1984) بر اساس فراوانی عناصر کمیاب محیط تکتونیکی گرانیت‌ها را به چهار گروه VAG (گرانیت‌های قوس آتشفسانی)، Syn-CLOG (گرانیت‌های برخوردی)، WPG (گرانیت‌های درون قاره‌ای) و ORG (گرانیت‌های پشته میان اقیانوسی) تقسیم‌بندی کرده است. چنانچه در شکل ۱۲ ملاحظه می‌شود، نمونه‌های مورد مطالعه در محدوده VAG قرار می‌گیرند.

همچنین نمونه‌های توده نفوذی جنوب کیکی بر روی نمودار تغییرات عناصر  $Nb/Th$  در برابر  $Nb$  (Pearce, 1982; Pearce et al., 1990) در محدوده قوس آتشفسانی قرار گرفته‌اند و ترکیبی نزدیک به پوسته قاره‌ای دارند (شکل ۱۳). نسبت  $U/Nb$

مقادیر نسبتاً پایین  $Sm/Yb$  در نمونه‌های مورد مطالعه به وجود کانی‌های کلینوپیروکسن و تا حدی آمفیبیول در منشاء در اعمق نسبتاً کم پوسته در غیاب گارنت باقیمانده اشاره دارد (Haschke et al., 2002 and Kay et al., 1991) با استفاده از نسبت  $La/Yb$  می‌توان تا حدی عمق مشاگیری ماقما را تخمین زد، به‌طوری که آندزیت‌ها و آندزیت‌های بازالتی با نسبت‌های  $La/Yb > 50$  معمولاً از عمق بیش از ۵۰ کیلومتر و از سنگ‌های حاوی گارنت منشا می‌گیرند، در صورتی که ماقماهایی با نسبت‌های  $La/Yb < 20$  در اعمق کمتر از ۴۰ کیلومتر و بدون حضور گارنت تولید می‌شوند (Hildreth and Morrath, 1988). لازم به ذکر است، ارزیابی عمق صورت گرفته چندان دقیق نبوده و به ترکیب سنگ‌شناسی پوسته زیرین وابسته است اما با این وجود راهنمایی را برای عمق فعل و انفعالات ماقمایی پوسته فراهم می‌کند. نسبت  $La/Yb$  برای نمونه‌های جنوب کیکی محدوده‌ای از  $2/75-16$  می‌باشد و عمقی کمتر از ۴۰ کیلومتر را نشان می‌دهد و تایید کننده مطالب فوق است. علاوه بر این، نمودارهای HREE تقریباً مسطح در شکل ۷ گویای آن است که ماقمایی تشکیل‌دهنده نمونه‌ها از منطقه‌ای در بالای محدوده پایداری گارنت ( $10 \text{ Km}$ ) مشتق شده به طوری که گارنت کانی اصلی در ناحیه منشاء آنها نبوده است و ماقمایی تشکیل‌دهنده جنوب کیکی از منبع کم ژرف پوسته (Singh and Johnnes, 1996) مشتق شده است.

شکل ۱۱ اطلاعاتی درباره تکامل کانی‌های باقیمانده پوسته زیرین که نسبت به فشار حساس هستند را نشان می‌دهد و به عنوان راهنمایی برای ارزیابی ضخامت پوسته و غنی شدگی منع به کار می‌رود (Kay and Mpodozis, 2001). محدوده‌ای که نمونه‌ها در آن قرار گرفته‌اند دارای نسبت‌های پایین  $Sm/Yb < 4$  و  $La/Sm < 3$  است، که کلینوپیروکسن را به عنوان کانی باقیمانده نشان می‌دهد و بر ضخامت کم پوسته ( $< 40 \text{ Km}$ ) اشاره دارد. همچنین برای تمايز ماقمایی منشا گرفته از پوسته و انواع مشتق از گوشه می‌توان از نسبت عناصر کمیاب در نمونه‌ها استفاده



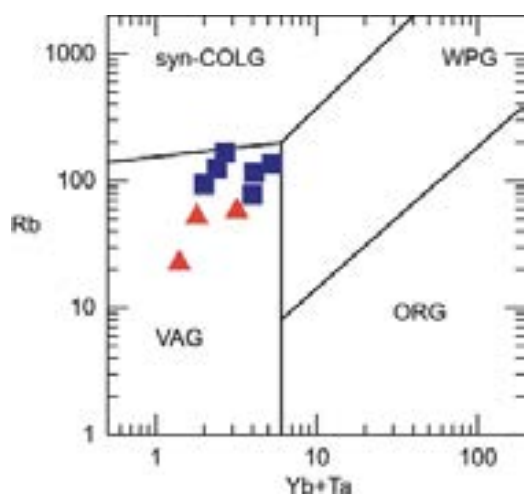
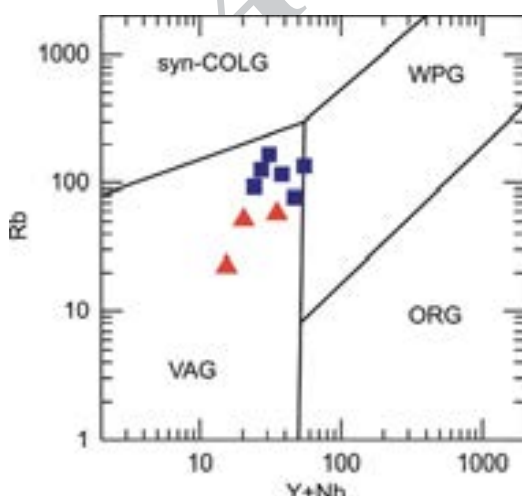
شکل ۱۱. نمودار  $\text{Sm}/\text{Yb}$  در برابر  $\text{La}/\text{Sm}$  برای سنگ‌های توده نفوذی جنوب کیکی. پیروکسن = PYX، آمفیبول = AMPH، گارنت = GAR (عالم مشابه شکل ۲ است). (Kay and Mpodozis, 2001)

- گرانیتوئیدی جنوب کیکی، نتایج زیر قابل ذکر است:
- ۱- سنگ‌های گرانیتوئیدی دارای ماهیت کالک آلکالن پتاسیم‌دار، متاآلومین تا پرآلومین و از نوع I محسوب می‌شوند.
- ۲- شواهد رُثوشیمیایی از قبیل بالا بودن  $\text{SiO}_2$ ، پایین بودن  $\text{Mg}^{#}$  و عناصر انتقالی و همچنین میانگین نسبت‌های  $\text{Nb/La}$ ،  $\text{Nb/Ce}$  و  $\text{La/Sm}$  (La/Sm) گویای آن است که پوسته زیرین در کنار مواد مشتق از گوشته نقش مهمی را در تشکیل گرانیت‌های کیکی بازی کرده است.
- ۳- مقادیر نسبتاً پایین  $\text{Yb}/\text{Sm}$  در نمونه‌های مورد مطالعه به وجود کانی‌های کلینوپیروکسن و تا حدی آمفیبول در منشاء در اعمق پوسته‌ای نسبتاً کم ژرف در غیاب گارنت باقیمانده اشاره دارد.
- ۴- نسبت  $\text{La}/\text{Yb}$  برای نمونه‌های جنوب کیکی محدوده‌ای از ۱۶-۲۰/۷۵-۲ می‌باشد و عمقی کمتر از ۴۰ کیلومتر را نشان می‌دهد.
- ۵- غنی شدگی عناصر LILE و HFSE نسبت به REE و

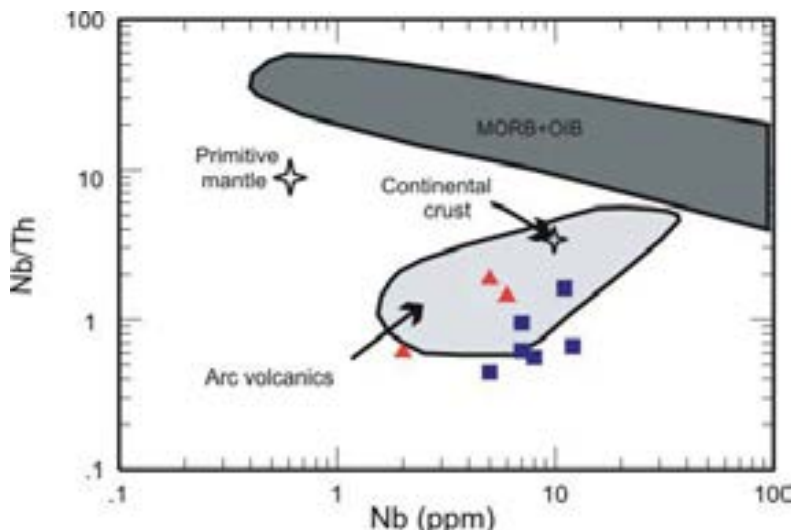
در سنگ‌های پوسته قاره‌ای برابر ۶/۲ (Rudinck and Fountain, 1995) و در بازالت‌های پشت‌های میان اقیانوسی برابر ۴۷ (Hofmann et al., 1986) است. نمونه‌های مورد مطالعه با نسبت پایین  $\text{U}/\text{Nb}$  (متوسط ۳/۶۳) با سنگ‌های پوسته قاره‌ای مشابه داشته و امکان منشأگیری آنها از محیطی مرتبط با پوسته اقیانوسی متفاوت است. همچنین با استفاده از نمودار لگاریتمی تغییرات  $\text{Nb}$  در برابر  $\text{Rb}/\text{Zr}$ ، می‌توان قوس‌های نابالغ یا اولیه را از انواع عادی و بالغ تفکیک نمود (Brown et al., 1984). چنانچه در شکل ۱۴ ملاحظه می‌شود، سنگ‌های گارنودیوریت و دیوریت در محدوده قوس اولیه و سنگ‌های گرانیت و گرانودیوریت در قلمرو قوس‌های عادی واقع شده‌اند.

### نتیجه‌گیری

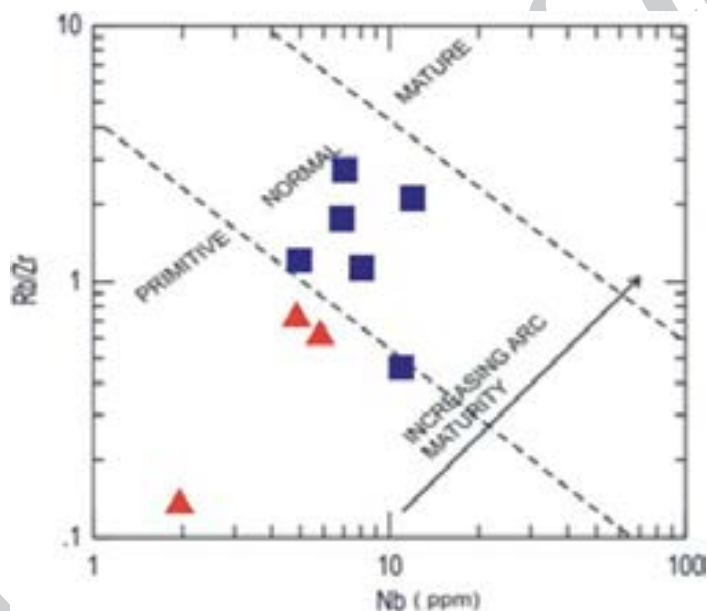
بر اساس جمع‌بندی اطلاعات به دست آمده از مطالعات صحرایی، پتروگرافی و نتایج آنالیزهای شیمیایی نمونه‌های



شکل ۱۲. موقعیت نمونه‌های مورد مطالعه بر روی نمودار تفکیک کننده محیط‌های تکتونیکی (Pearce et al., 1984) (عالم مشابه شکل ۲ است).



شکل ۱۳. موقعیت نمونه‌های توده غفوذی جنوب کیکی بر روی نمودار تغییرات عناصر  $Nb$  در برابر  $Nb/Th$  (Pearce 1982, Pearce et al., 1990) ( $Nb$  در برابر  $Nb/Th$  نمودار تغییرات عناصر معمولی است). (علاوه مشابه شکل ۲ است).



شکل ۱۴. نمودار تفکیک کننده قوس اولیه، قوس نرمال و قوس بالغ با استفاده از تغییرات  $Nb$  در برابر  $Rb/Zr$  (Brown et al., 1984) (علاوه مشابه شکل ۲ است).

- حاجی حسینی، ا.، قاسمی، ع.، کریمی‌نیا، س. و سعیدی، ع.، ۱۳۸۲. نقشه زمین‌شناسی ۱:۱۰۰۰۰۰ بسطام. سازمان زمین‌شناسی و اکتشافات معدنی کشور.

- رحمتی ایلخچی، م.، ندیمی، ح.، سهندی، م. و بهره‌مند، م.، ۱۳۸۲. نقشه زمین‌شناسی ۱:۱۰۰۰۰۰ رزو. سازمان زمین‌شناسی و اکتشافات معدنی کشور.

- نبوی، م.ح.، ۱۳۵۵. دیباچه‌ای بر زمین‌شناسی ایران. سازمان زمین‌شناسی و اکتشافات معدنی کشور، ۱۰۹.

- نوایی، ا.، صالحی‌راد، م. و مجیدی، ب.، ۱۳۶۵. نقشه زمین‌شناسی ۱:۲۵۰۰۰۰ خارتران. سازمان زمین‌شناسی و اکتشافات معدنی کشور.

HREE و وجود آномالی منفی  $Nb$  و  $Ti$  همراه با نمودارهای تفکیک کننده محیط تکتونیکی و پایین بودن نسبت  $U/Nb$  بیان‌گر محیطی مرتبط با فروزانش در حاشیه فعال قاره‌ای است. به هر حال پر واضح است که ابراز نظر قطعی راجع به منشأ و نحوه تشکیل توده گرانیت‌های جنوب کیکی مستلزم آن است که داده‌های موجود با اطلاعات تکمیلی همچون داده‌های ایزوتوپی تلفیق و مورد تجزیه و تحلیل قرار گیرد.

#### منابع

- افتخارنژاد، خ. و آقاباتی، ع.، ۱۳۷۰. نقشه زمین‌شناسی ۱:۲۵۰۰۰۰ جاجرم. سازمان زمین‌شناسی و اکتشافات معدنی کشور.

and extension in the Basin and Range. *Journal of Geophysics Research*, 100, 10271–10286.

- Hildreth, W. and Moorbat, S., 1988. Crustal contributions to arc magmatism in the Andes of central Chile. *Contributions to Mineralogy and Petrology*, 98, 455–489.

- Hofmann, A., Jochum, K., Seufert, M. and White, M., 1986. Nb and Pb in oceanic basalts: New constraints on mantle evolution. *Earth and Planetary Science Letters*, 79, 33-45.

- Hoskin, P.W.O., Kinny, P.D., Wyborn, D. and Chappell, B.W., 2000. Identifying accessory mineral saturation during differentiation in granitoid magmas: An integrated approach. *Journal of Petrology*, 41, 1365-1395.

- Irvine, T.N. and Baragar, W.R.A., 1971. A guide to the chemical classification of the common volcanic rocks. *Canadian Journal of Earth Sciences*, 8, 523-548.

- Jung, S., Masberg, P., Mihm, D. and Stephan Hoernes., 2009. Partial melting of diverse crustal sources - Constraints from Sr–Nd–O isotope compositions of quartz diorite–granodiorite–leucogranite associations (Kaoko Belt, Namibia). *Lithos*, 111, 236-251

- Kay, S.M. and Mpodozis, C., 2001. Central Andean ore deposits linked to evolving shallow subduction systems and thickening crust. *GSA Today*, 11, 4-9.

- Kay, S.M., Mpodozis, C., Ramos, V.A. and Munizaga, F., 1991. Magma source variations for mid–late Tertiary magmatic rocks associated with a shallowing subduction zone and a thickening crust in the central Andes (28 to 33°S). In: Harmon, R.S., Rapela, C.W. (Eds.), *Andean Magmatism and its Tectonic Setting*. Geology Society America, Boulder, Colorado, Special Paper, 265, 113–137.

- Kuster, D. and Harms, U., 1998. Post-collisional potassio granitoids from the southern and northwestern parts of the Late Neoproterozoic East African Orogen: a review. *Lithos*, 45, 177-195.

- LaTourrette, T., Hervig, R.L. and Holloway, J.R., 1995. Trace element partitioning between amphibole, phlogopite, and basanite melt. *Earth and Planetary Science Letters*, 135, 13–30.

- Maniar, P.D. and Piccoli P.M., 1989. Tectonic discrimination of granitoids. *Geology Society Americal Bulletin*, 101, 635 – 643.

- Patiño Douce, A. and Beard, J.S., 1995. Dehydration-melting of biotite and quartz amphibolite from 3 to 15 kb. *Journal of Petrology*, 36, 707–738.

- Barbarin, B., 1999. A review of the relationship between granitoid types, their origins and their geodynamic environments. *Lithos*, 46, 605-626.

- Barnes, C.G., Burton, B.R., Burling, T.C., Wright, J.E. and Karlsson, H.R., 2001. Petrology and geochemistry of the late Eocene Harrison Pass Pluton, Ruby mountains Core Complex, Northeastern Nevada. *Journal of Petrology*, 42, 901-929.

- Beard, J.S. and Lofgren, G.E., 1991. Dehydration melting and water-saturated melting of basaltic and andesitic greenstones and amphibolites at 1.3 and 6.9 kb. *Journal of Petrology*, 32, 365-401.

- Brown, G.C., Thorpe, R.S. and Webb, P.C., 1984. The geochemical characteristics of granitoids in contrasting arcs and comments on magma sources. *Journal of Geological Society of London*, 141, 413– 426.

- Chappell, B.W. and White, A.J.R., 1992. I and S-type granites in the Lachlan Fold Belt. *Transactions of the Royal Society of Edinburgh-Earth Sciences*, 83, 1-26.

- De La Roche, H., Leterrier, J., Grande Claude, P. and Marchal, M., 1980. A classification of volcanic and plutonic rocks using R1-R2 diagrams and major element analyses - its relationship and current nomenclature. *Chemical Geology*, 29, 183-210.

- Harker, A., 1909. *The Natural History of Igneous Rocks*. Methuen, London, 344.

- Harris, N.B.W., Pearce, J.A. and Tindle, A.G., 1986. Geochemical characteristics of collision-zone magmatism. In: Coward, M.P., Ries, A.C. (Eds.), *Collision Tectonics*. Geological Society of London, Special Publication, 67-81.

- Haschke, M., Siebel, W., Günther, A. and Scheuber, E., 2002. Repeated crustal thickening and recycling during the Andean orogeny in North Chile (21°–26°S). *Journal of Geophysical Research*, 107, 2019, doi: 10.1029/2001JB000328.

- Hassanzadeh, J., Stockli, D., Horton, B., Axen, G., Stockli, L., Grove, M., Schmitt, A. and Walker, J. 2008. U-Pb zircon geochronology of late Neoproterozoic–Early Cambrian granitoids in Iran: Implications for paleogeography, magmatism, and exhumation history of Iranian basement. *Tectonophysics*, 451, 71-96.

- Hawkesworth, C., Turner, S., Gallagher, K., Hunter, A., Gallagher, K., Hunter, A., Bradshaw, T. and Rogers, N., 1995. Calc alkaline magmatism, lithospheric thinning

- Patino-Douce, A.E. and Beard, J.S., 1996. Effects of P, fO<sub>2</sub> and Mg/Fe ratio on dehydration melting of model metagreywackes. *Journal of Petrology*, 37, 999–1024.
- Pearce, J.A., Harris, N.B.W. and Tindle, A.G., 1984. Trace element discrimination diagrams for the tectonic interpretation of granitic rocks. *Journal of Petrology*, 25, 956-983.
- Pearce, J.A., 1982. Trace element characteristics of lavas from destructive plate margins. In: R.S. Thorpe (Editor), *Andesites: Orogenic Andesites and Related Rocks*. Wiley, New York, 525-548.
- Pearce, J.K., Bender, J.F., De Long, S.E., Kidd, W.S.F., Low, P.J., Guner, Y., Saroglu, F., Yilmaz, Y., Moorbat, S. and Mitchell, J.C., 1990. Genesis of collision volcanism in Eastern Anatolia, Turkey. *Journal of Volcanology and Geothermal Research*, 44, 189-229.
- Rapp, R.P. and Watson, E.B., 1995. Dehydration melting of metabasalt at 8–32 kbar: Implications for continental growth and crust-mantle recycling. *Journal of Petrology*, 36, 891-931.
- Ratajeski, K., Sisson, T.W. and Glazner, A.F., 2005. Experimental and geochemical evidence for dehydration of the El Capitan Granite, California, by partial melting of hydrous gabbroic lower crust. *Contributions to Mineralogy and Petrology*, 149, 713–734.
- Rickwood, P.C., 1989. Boundary lines within petrologic diagrams which use of major and minor elements. *Lithos*, 22, 247-263.
- Roberts, M.P. and Clemens, J.D., 1993. Origin of high-potassium, calc-alkaline, I-type granitoids. *Geology*, 21, 825-828.
- Rogers, N.W., Hawkesworth, C.J. and Ormerod, D.S., 1995. Late Cenozoic basaltic magmatism in the Western Great Basin California and Nevada. *Journal of Geophysics Research*, 100, 10287-10301.
- Romick, J.D., Kay, S.M. and Kay, R.M., 1992. The influence of amphibole fractionation on the evolution of calc-alkaline andesite and dasite tehptra from the central Aleutians, Alaska. *Contribution to Mineralogy and Petrology*, 112, 101-118.
- Rudnick, R.L. and Fountain, D.M., 1995. Nature and composition of the continental crust: a lower crustal perspective. *Review of Geophysics*, 33, 267–309.
- Rushmer, T., 1991. Partial melting of two amphibolites: Contrasting experimental results under fluid-absent conditions. *Contributions to Mineralogy and Petrology*, 107, 41-59, doi: 10.1007/BF00311184.
- Searle, M.P. and Fryer, B.J., 1986. Garnet-tourmaline- and muscovite-bearing leucogranites, gneisses and migmatites of the higher Himalayas from Zanska, Kulu, Lahoul and Kashmir. In: Coward, M.P., Ries, A.C. (Eds.), *Collision Tectonics*. Geological Society of London, Special Publication, 19, 185–202.
- Singh, J. and Johannes, W., 1996. Dehydration melting of tonalites. Part 1: Beginning of melting. *Contributions to Mineralogy and Petrology*, 125, 16–25.
- Sun, S.S. and McDonough, W.F., 1989. Chemical and isotopic systematics of oceanic basalts: implications for mantle composition and processes. In: for mantle processes. Saunders, A.D., Norrey, M.J. (eds.), *Magmatism in the Ocean Basins*. Geological Society of London Special Publication, 42, 313-345.
- Tankut, A., Wilson, M. and Yihunie, T., 1998. Geochemistry and tectonic setting of Tertiary volcanism in the Guvem area, Anatolia, Turkey. *Journal of Volcanology and Geothermal Research*, 85, 285–301.
- Taylor, S.R. and McLennan, S.M., 1985. *The Continental Crust: its Compositions and evolution*. Blackwell, Oxford, 27–72.
- Tepper, J.H., Nelson, B.K., Bergantz, G.W. and Irving, A.J., 1993. Petrology of the Chilliwack batholith, North Cascades, Washington: generation of calc-alkaline granitoids by melting of mafic lower crust with variable water fugacity. *Contributions to Mineralogy and Petrology*, 113, 333-351.
- Thompson, A.B., 1996. Fertility of crustal rocks during anatexis. *Transactions of the Royal Society of Edinburgh-Earth Sciences*, 87, 1–10.
- Thuy, N.T.B., Satir, M., Siebel, W., Vennemann, T. and Long, T.V., 2004. Geochemical and isotopic constrains on the petrogenesis of granitoids from the Dalat zone, southern Vietnam. *Journal of Asian Earth Sciences*, 23, 467-482.
- Weaver, B.L. and Tarney, J., 1984. Empirical approach to estimating the composition of the continental crust. *Nature*, 310, 575-577.
- Wilson, M., 1989. *Igneous Petrogenesis*. Unwin Hyman London, 466.
- Wolf, M.B. and Wyllie, J.P., 1994. Dehydration-melting of amphibolite at 10 Kbar: the effects of temperature

and time. Contributions to Mineralogy and Petrology, 115, 369-383.

- Woodhead, J.D. and Johnson, R.W., 1993. Isotop and trace element profile across the New Britain island arc Papua new guines. Contributions to Mineralogy and Petrology, 113, 479-491.

- Zhou Mei-Fu., Dan-Ping Yan., Chang-Liang Wang., Liang Qi. and Kennedy A., 2006. Subduction-related origin of the 750 Ma Xuelongbao adakitic complex (Sichuan Province, China): Implications for the tectonic setting of the giant Neoproterozoic magmatic event in South China. Earth and Planetary Science Letters, 248, 286–300.

Archive of SID